透水型コンクリート用シートがコンクリート圧縮強度に及ぼす影響(シリンダーテストピースの場合)

正会員 ○山本 時生\* 同 大村 哲矢\*\*

同 近森 精志\*\*\*

コンクリート用シート 強度増加 圧縮強度 表面気泡 FEM 解析 有効厚さ

#### 1. はじめに

透水型コンクリートシート(以下, PS)は通気性およ び水分吸収性を有するため、養生後において、 コンクリ ート表層の気泡が減少し, 水セメント比が低くなるため に表面強度が増加することを非破壊試験によって示し, 中性化, 凍結融解などに対する抵抗性が向上するする 1),2) と報告されている。

本研究では PS によって養生されたコンクリートシリン ダーの試験体を製作し、圧縮強度試験を実施して、3次元 弾塑性 FEM 解析を行うことにより、表面強度のみならず 強度増加した深さを推定する。

## 2. 実験概要

Fig. 1 に試験体型枠の概要, Table 1 にコンクリート調合 表, Table 2 に試験体寸法一覧を示す。脱型後にコンクリ ートを切断して、試験体形状が直径および高さがそれぞ れ100, 200mm となるように、直径および高さがそれぞれ 125, 250mm のプラスチック製モールドを加工して型枠を 製作した。

試験体の円形上下面以外における曲面に接するコンク リーシートの厚さを変動要因とし、シートなし、0.8、 1.2mm の3種類の試験体をそれぞれ3体ずつ計9体製作し

コンクリートは試験室内で45Lの試験材料を攪拌後,速 やかに JIS 規格に準拠して打設した。スランプおよび空気 量はそれぞれ 18.9cm,5.7%であった。気温 20 度の恒温室 で養生し、材齢 28 日後に脱型して圧縮試験を実施しコン プレッソメーターを用いてひずみ度を計測した。また, 表面気泡を写し取り、画像解析し表面気泡量を測定した。

### 3. 実験結果

Fig. 2 に応力度ひずみ度関係を示す。ひずみ度の増加に 応力度が増加し、緩やかに塑性化がすすみ最大荷重に達 した。一般的なコンクリート材料試験結果と同様な傾向 を示した。最大の圧縮応力度はそれぞれ3体ずつの平均で、 47.3 から 53.2N/mm<sup>2</sup>であった。ヤング率はすべての試験体 で同程度で概ね 30kN/mm<sup>2</sup>であった。

Fig. 3 に PS の厚さ、最大の応力度 (P/A) および増加率 を示す。PS0.0 のシートなしにおける P/A は 47.3 N/mm<sup>2</sup> (以下,  $f'_c$ ) であった。シートの厚さが 0.8 から 1.2mm ま

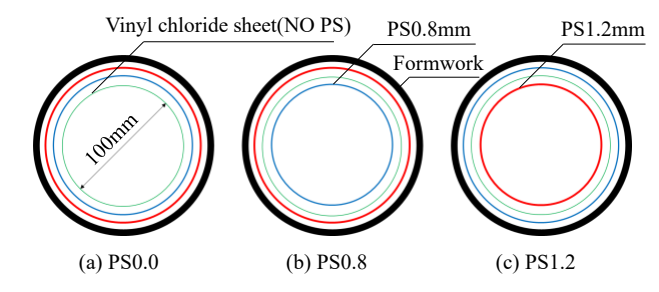


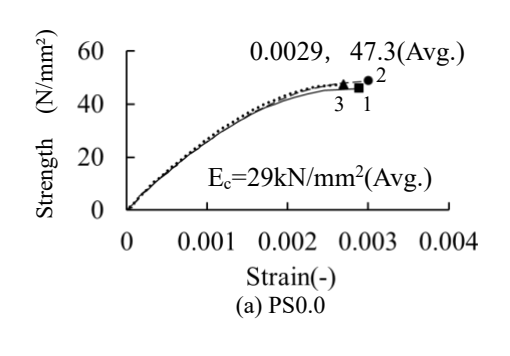
Fig 1. Cross section

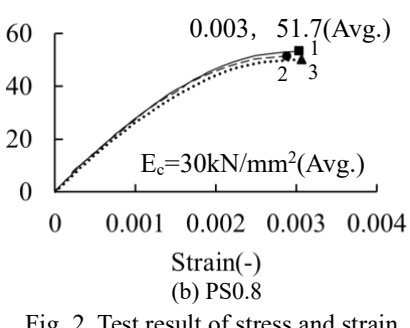
Table 1. Test specimen

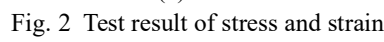
W/C (%)	s/a (%)	Gmax (mm)	SL (cm)	SLF (cm)	Air (%)	単位質量(kg/m³)			
						W	С	S	G
50.0	47.0	17.04	18.9	302	5.7	175	350	820	944

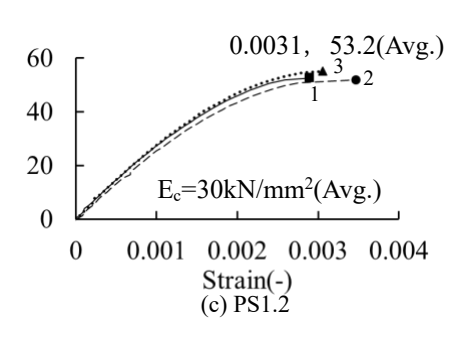
Table 2. Concrete mixing design

Name	D (mm)	H (mm)	D ave.	H ave.	
PS0.0-1, 2, 3	99.4, 99.2, 99.2	200.9, 201.0, 200.9	99.3	200.9	
PS0.8-1, 2, 3	99.3, 99.4, 99.2	199.8, 200.2, 201.1	99.3	200.4	
PS1.2-1, 2, 3	99.1、98.8、98.9	200.6, 200.2, 200.1	98.9	200.3	



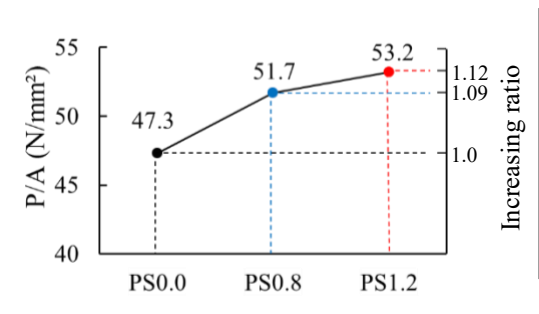






Effect of permeable concrete formwork sheet on concrete compressive strength and its properties

Yamamoto Tokio Ohomura Tetsuya Chikamori Seiji



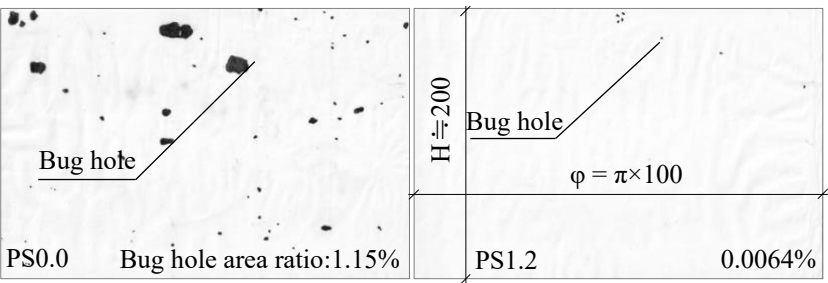


Fig. 3 Maximum compressive stress

で増加すると P/A は 51.7 から 53.2 N/mm<sup>2</sup>まで増加した。 増加率はそれぞれ 1.09 から 1.12 倍となった。

Fig. 4 に試験体の上下面以外の曲面における表面気泡の 状況と面積比を示す。シートなしでは気泡が多くみられ、一般的なコンクリート材料試験用シリンダーと同様 の傾向がみられ、表面気泡の面積比は 1.15%であった。 一方、シートの厚さが 1.2mm の試験体では小さい気泡が 一部にみられるものの、ほとんど気泡がみられず、表面 気泡の面積比は 0.0064%であった。

#### 4 FEM 解析および結果

Fig. 5 に材料特性および要素分割を示す。PS によるコンクリート表層部の強度上昇厚さ(以下,有効厚さ)を 7,10,20mm と仮定し,有効厚さ部と中央部で異なる材料特性を持つモデルを作成し,3 次元静的弾塑性 FEM 解析を実施した。

Fig. 6 に有効厚さと強度増加後のコンクリート強度(以下, f'<sub>ec</sub>)分布を示す。有効厚さ部における実際のf'<sub>ec</sub>は破線の曲線のように分布していると考えられるが、簡易

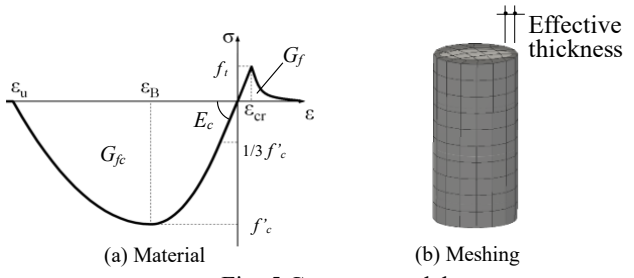


Fig. 5 Concrete model

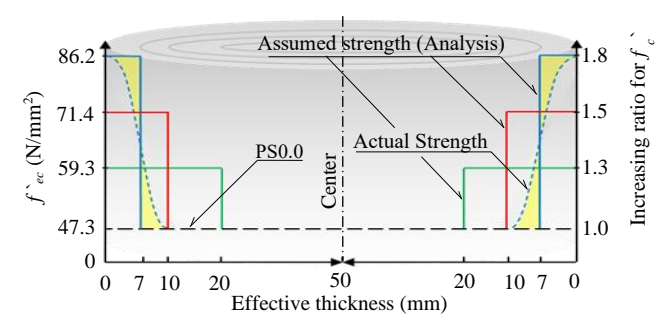


Fig. 6 Effective Strength and compressive strength

Fig. 4 Bug holes on the surface

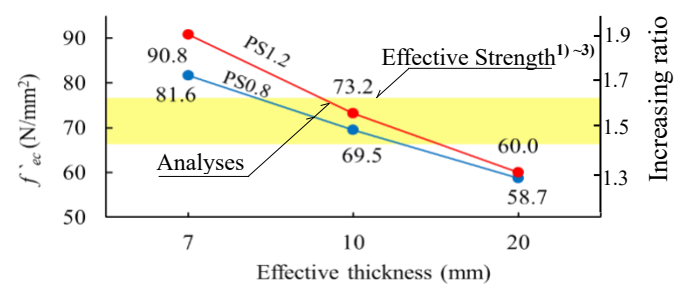


Fig. 7 Effective strength and effective thickness

的に有効厚さ部の $f'_{ee}$ は一定であるとした。 $f'_{e}$ の 1.2 から 1.7 倍およびそれぞれの有効厚さを組み合せたパターンを解析し、荷重が実験結果と一致することを確認した。

Fig. 7 に有効厚さと「最大荷重が実験結果と一致するf' ec」を示す。

既往研究  $^{1),2)$ では PS によって強度増加したコンクリート強度の範囲は黄色のエリアである。本研究では、有効厚さが増加すると f'ec は低下する。PS の厚さが異なっても同様の傾向がみられた。

既往研究  $^{1),2)}$ を考慮すると PS による有効厚さおよびコンクリート強度の増加倍率はそれぞれ 10mm で 1.5 倍であると考えられる。

# 5 まとめ

透水型コンクリート用シートを用いた試験体を製作し、圧縮試験およびFEM解析を実施して以下の知見が得られた。

- 1) コンクリート用シート厚さの増加にともない、最大荷重は増加する。
- 2) コンクリート用シートを用いると表面気泡は大幅に減少する。
- 3) コンクリート用シートによりコンクリート強度が増加する有効厚さは10mmで強度増加倍率1.5倍であった。
- 1)三島直生,畑中重光,小林広美,犬飼利嗣:透水性型枠を使用したコンクリートの性能改善,コンクリート工学年次論文集,vol.26,363-368,2004
- 2)竹中寛,末岡英二,安田正雪:透水型枠工法を用いたコンクリートの表面品質の改善に関する研究,コンクリート工学年次論文集,vol.31 955-960.2009

<sup>\*</sup>東京科学大学 環境·社会理工学院 建築学系

<sup>\*\*</sup>東京都市大学 建築都市デザイン学部 准教授・博士(工学)

<sup>\*\*\*</sup>アイエスティー(株)

<sup>\*</sup>Graduate Student of Institute of Science Tokyo.

<sup>\*\*</sup> Assoc. prof., Tokyo City University, Dr. Eng.

<sup>\*\*\*</sup>IST Corporation.